

ISSN 0552-5829

**РОССИЙСКАЯ АКАДЕМИЯ НАУК
ГЛАВНАЯ (ПУЛКОВСКАЯ) АСТРОНОМИЧЕСКАЯ ОБСЕРВАТОРИЯ**

**ВСЕРОССИЙСКАЯ ЕЖЕГОДНАЯ КОНФЕРЕНЦИЯ
ПО ФИЗИКЕ СОЛНЦА**

**СОЛНЕЧНАЯ
И СОЛНЕЧНО-ЗЕМНАЯ
ФИЗИКА – 2013**

ТРУДЫ



**Санкт-Петербург
2013**

Сборник содержит доклады, представленные на Всероссийской ежегодной конференции «Солнечная и солнечно-земная физика – 2013» (XVII Пулковская конференция по физике Солнца, 25–27 сентября 2013 года, Санкт-Петербург, ГАО РАН) – при соединенного симпозиума к Всероссийской конференции «Многоликая Вселенная» (ВАК-2013). Конференция проводилась Главной (Пулковской) астрономической обсерваторией РАН при поддержке секции «Солнце» Научного совета по астрономии РАН и секции «Плазменные процессы в магнитосферах планет, атмосферах Солнца и звезд» Научного совета «Солнце – Земля», а также при поддержке Российского фонда фундаментальных исследований, программ Президиума РАН, Отделения Физических Наук РАН, гранта поддержки ведущих научных школ России НШ-1625.2012.2.

Тематика конференции включала в себя широкий круг вопросов по физике солнечной активности и солнечно-земным связям.

В конференции принимали участие учёные Российской Федерации, Украины, Польши, Финляндии, США, Японии, Израиля, Азербайджана, Германии.

Оргкомитет конференции

Сопредседатели: А.В. Степанов (*ГАО РАН*), В.В. Зайцев (*ИПФ РАН*)

Члены оргкомитета:

В.М. Богод (<i>CAO РАН</i>)	Ю.А. Наговицын (<i>ГАО РАН</i>)
И.С. Веселовский (<i>НИИЯФ МГУ, ИКИ РАН</i>)	В.Н. Обридко (<i>ИЗМИРАН</i>)
К. Георгиева (<i>ИКСИ-БАН, Болгария</i>)	О.М. Распопов (<i>СПбФ ИЗМИРАН</i>)
В.А. Дергачев (<i>ФТИ РАН</i>)	А.А. Соловьёв (<i>ГАО РАН</i>)
М.А. Лившиц (<i>ИЗМИРАН</i>)	Д.Д. Соколов (<i>МГУ</i>)
Н.Г. Макаренко (<i>ГАО РАН</i>)	А.Г. Тлатов (<i>ГАС ГАО РАН</i>)

Ответственные редакторы – А.В. Степанов и Ю.А. Наговицын

В сборник вошли статьи, получившие по результатам опроса одобрение научного комитета.

Труды ежегодных Пулковских конференций по физике Солнца, первая из которых состоялась в 1997 году, являются продолжением публикации научных статей по проблемам солнечной активности в бюллетене «Солнечные данные», выходившем с 1954 по 1996 гг.

Синоптические данные о солнечной активности, полученные в российских обсерваториях (главным образом, на Кисловодской Горной станции ГАО РАН) в продолжение программы «Служба Солнца СССР», доступны в электронном виде по адресам:

<http://www.gao.spb.ru/english/database/sd/index.htm>
<http://www.solarstation.ru/>

Компьютерная верстка Е.Л. Терёхиной

ISBN 978-5-9651-0782-7

© Главная (Пулковская) астрономическая обсерватория РАН, 2013

СОДЕРЖАНИЕ

Абраменко В.И.

Мульти-фрактальная структура солнечных магнитных полей и проблема турбулентного динамо 3

Абрамов-Максимов В.Е., Боровик В.Н., Опейкина Л.В., Тлатов А.Г.
Динамика микроволнового излучения активных областей на Солнце перед большими X-вспышками 7

Бакунина И.А., Мельников В.Ф., Соловьев А.А., Абрамов-Максимов В.Е.

Межпятенные микроволновые источники 11

Беневоленская Е.Е.

Детальная эволюция, вращение и диссипация активной области NOAA 11106 по данным SDO/HMI 15

Беневоленская Е.Е.

Синоптическая структура солнечного цикла 24 в короне, хромосфере и фотосфере по наблюдениям космической обсерватории ‘Solar Dynamics observatory’ 19

Беневоленская Е.Е., Шаповалов С.Н.

Задачи исследований вариаций TSI и энергии UV в 24 цикле СА (проект программы ГАО – ААНИ) 23

Беневоленская Е.Е., Шаповалов С.Н., Костюченко И.Г.

Спектральное и полное излучение Солнца (SSI, TSI) в минимуме солнечной активности 27

Биленко И.А.

Эволюционные изменения глобального магнитного поля Солнца и параметры эруптивных процессов 31

Блудова Н.Г., Бадалян О.Г.

О временных изменениях числа малых пятен за 1874–2012 гг. 35

Веретененко С.В., Огурцов М.Г.

Роль стратосферного циркумполярного вихря в формировании долгопериодных эффектов солнечной активности и галактических космических лучей в тропосферной циркуляции 39

Вернова Е.С., Тясто М.И., Баранов Д.Г.

Дисбаланс фотосферных и гелиосферных магнитных полей разной полярности 43

Волобуев Д.М., Макаренко Н.Г.	
Глобальная корреляция приземных тепловых потоков и инсоляции в 11-летнем цикле: широтный эффект	47
Вохмянин М.В., Понявин Д.И.	
Межпланетное магнитное поле в 19-м веке и геоэффективные секторные границы	51
Ганиев В.В., Смирнова В.В.	
Зависимость собственных долгопериодических колебаний солнечных пятен от напряженности магнитного поля	55
Гемлинг А.В., Исикава Р., Бучнев А.А.	
Играет ли всплытие трубки магнитного поля ключевую роль в формировании групп пятен?	59
Глобина В.И., Чариков Ю.Е., Кудрявцев И.В., Мельников В.Ф.	
Временные задержки жесткого рентгеновского излучения солнечных вспышек: обработка результатов измерений на CGRO и численное моделирование	63
Голубчина О.А., Коржавин А.Н.	
Яркостные температуры и электронные концентрации в полярной корональной области Солнца по данным наблюдений в микроволновом диапазоне	67
Гриб С.А., Пушкин Е.А.	
Могут ли солнечные медленные ударные волны нагревать корону Солнца?	71
Григорьева И.Ю., Лившиц М.А.	
Микроволновое излучение небольших активных областей: электрические токи и развитие нестационарных процессов	75
Ерофеев Д.В.	
Влияние 22-летнего магнитного цикла Солнца на поляризацию турбулентных флуктуаций солнечного ветра	79
Ефремов В.И., Парфиненко Л.Д., Соловьев А.А.	
Локальные и интегральные параметры НЧ-колебаний солнечных пятен по данным MDI (SOHO)	83
Зайцев В.В.	
Спорадический нагрев плазмы в нижней хромосфере	87
Злотник Е.Я., Зайцев В.В., Шапошников В.Е.	
О происхождении зебра-структур в километровом излучении Юпитера	91

Золотова Н.В., Понявин Д.И.	
О природе слабого полярного поля в минимуме 23/24 солнечных циклов	95
Иванов В.Г., Милецкий Е.В.	
Закон Шпёйера и связь широтных характеристик солнечной активности с амплитудными	99
Иванов Е.В., Обридко В.Н.	
Роль крупномасштабной структуры магнитного поля Солнца в глобальной организации солнечной активности	103
Ихсанов Р.Н., Иванов В.Г.	
Циклическая эволюция солнечных крупномасштабных магнитных полей в период 1960–1985 годов	107
Ишков В.Н.	
Периоды пониженной и повышенной солнечной активности: наблюдательные особенности и ключевые факты	111
Кацова М.М., Лившиц М.А.	
Активность Солнца в возрасте 1–2 миллиарда лет	115
Костюченко И.Г., Беневоленская Е.Е.	
Активные долготы в минимумах солнечной активности	121
Кравцова М.В., Сдобнов В.Е.	
Сравнительный анализ форбуш-понижений в периоды сильных геомагнитных бурь в марте–апреле 2001 г.	125
Кузнецов В.Д., Джалилов Н.С.	
Бесстолкновительные МГД волны и нагрев короны	129
Луковникова А.А., Сдобнов В.Е.	
Вариации космических лучей в июле–сентябре 2012 года	133
Мерзляков В.Л.	
Динамическая модель солнечного протуберанца	137
Мерзляков В.Л., Старкова Л.И.	
Источники крупномасштабного магнитного поля короны периода низкой активности Солнца	141
Милецкий Е.В., Иванов В.Г.	
Моменты отсчёта широтной фазы и длина 11-летнего цикла солнечных пятен	145

Мирошниченко Л.И., Сидоров В.И., Кузьминых Ю.В.	
Солнечное протонное событие 14 декабря 2006 г.: генерация и регистрация релятивистских частиц?	149
Можаровский С.Г.	
Сравнение глубин отклика спектральных линий на изменения физических параметров в фотосфере методом пробного слоя	153
Моргачев А.С., Мельников В.Ф.	
Инверсия поляризации микроволнового излучения и радиодиагностика параметров вспышечной петли	157
Моторина Г.Г., Кудрявцев И.В., Лазутков В.П., Савченко М.И., Скородумов Д.В., Чариков Ю.Е.	
Эволюция энергетических спектров жесткого рентгеновского излучения солнечной вспышки 15 апреля 2002 года	161
Наговицын Ю.А., Кулешова А.И.	
О рекуррентности вспышек в активных областях	165
Наговицын Ю.А., Рыбак А.Л.	
Артефакты SOHO MDI	169
Нестеренок А.В., Найденов В.О.	
Расчет глобальной скорости образования космогенного радиоуглерода в атмосфере Земли	173
Обридко В.Н., Бадалян О.Г.	
Циклическая вариация подмножеств малых и больших групп пятен	177
Огурцов М.Г., Ойнонен М.	
Проявления солнечного казивекового цикла в концентрации нитратов в полярном льду	183
Откидычев П.А., Скорбезж Н.Н.	
Особенности 24 цикла солнечной активности и их связь с общими закономерностями 19–23 циклов	187
Откидычев П.А., Глатов А.Г.	
Распределения групп солнечных пятен по площадям по данным различных обсерваторий	191
Пальшин В.Д., Чариков Ю.Е., Антекарь Р.Л., Голенецкий С.В., Кокомов А.А., Кудрявцев И.В., Свинкин Д.С., Соколова З.Я., Уланов М.В., Фредерикс Д.Д., Цветкова А.Е.	
Исследование динамики энергетических спектров жесткого рентгеновского и гамма излучения солнечных вспышек по результатам наблюдений экспериментов Конус-Винд и Геликон	195

Парфиненко Л.Д., Ефремов В.И., Соловьев А.А.	
Поле скоростей супергрануляции по данным MDI(SOHO)	199
Петерова Н.Г., Опейкина Л.В., Топчилло Н.А.	
Об источниках типа «гало» по наблюдениям активной области NOAA 7123 в микроволновом диапазоне излучения	203
Подгорный А.И., Подгорный И.М.	
МГД моделирование положения источников рентгеновского излучения солнечных вспышек и сравнение с наблюдениями	207
Подгорный И.М., Подгорный А.И., Мешалкина Н.С.	
Магнитное поле активных областей и его связь с появлением вспышек	211
Порфириева Г.А., Якунина Г.В., Боровик В.Н., Григорьева И.Ю.	
Эмиссия в континууме и жёстком рентгеновском излучении во вспышках на Солнце	215
Ривин Ю.Р.	
Каталоги результатов наблюдений солнечной активности по прямым и косвенным данным	219
Ривин Ю.Р.	
Краткая схема механизма генерации 11-летних циклов, наблюдавшихся на поверхности фотосферы Солнца в изменениях количества пятен и фонового магнитного поля	223
Ривин Ю.Р.	
Правило Гневышева-Оля в свете анализов декадных и вековых вариаций чисел Вольфа за ~300 лет	227
Рощина Е.М., Сарычев А.П.	
Усредненная форма 11-летних циклов пятнообразования на Солнце	231
Рябов М.И., Сухарев А.Л., Собитняк Л.И.	
Циклы северного и южного полушария Солнца и их влияние на характер солнечно-земных связей	235
Садыков В.М., Зимовец И.В.	
Расчет потенциального магнитного поля в активных областях Солнца	239
Соловьев А.А., Киричек Е.А.	
Солнечное пятно: мелкое или глубокое?	243
Струминский А.Б., Зимовец И.В., Аптекарь Р.Л., Голенецкий С.В., Пальшин В.Д., Уланов М.В., Фредерикс Д.Д., Чариков Ю.Е.	
Новый взгляд на солнечные наблюдения в эксперименте КОНУС-ВИНД: усовершенствование эксперимента ГЕЛИКОН в проекте ИНТЕРГЕЛИО-ЗОНД	249

Тавастшерна К.С., Поляков Е.В.	
Корональные дыры, крупномасштабное магнитное поле и комплексы активности в 23 цикле активности Солнца	253
Тлатов А.Г.	
Обращение правила Гневышева-Оля и реликтовое магнитное поле Солнца	257
Тлатов А.Г., Тавастшерна К.С., Васильева В.В.	
Корональные дыры в период 21–23 циклов активности	261
Тягун Н.Ф.	
О лучевых и нетермических скоростях в солнечной короне по наблюдениям Fe X 6374 и Fe XIV 5303	265
Chmielewski P., Murawski K., Solov'ev A.A.	
Numerical simulation of Alfvén waves and magnetic swirls in the solar atmosphere	269
Чариков Ю.Е., Мельников В.Ф., Аптекарь Р.Л., Голенецкий С.В., Кудрявцев И.В., Кузнецов С.А., Пальшин В.Д., Свиркин Д.С., Соколова З.Я., Уланов М.В., Фредерикс Д.Д., Цветкова А.Е.	
Наблюдения жесткого рентгеновского/гамма и микроволнового излучений солнечных вспышек: сравнительный анализ	273
Шаповалов С.Н., Беневоленская Е.Е.	
Связь флуктуаций солнечной UV-радиации и содержания озона с солнечными факторами (Антарктида)	277
Шарыкин И.Н., Струминский А.Б., Зимовец И.В.	
Исследование вспышек с различным спектром ускоренных электронов и одинаковым откликом в мягком рентгеновском излучении	281
Шендрек А.В., Курочкин Е.В., Тохчукова С.Х.	
Тестирование критериев прогноза солнечной активности на основе анализа спектральных характеристик радиоизлучения активных областей	285
Лоптова Н.А., Субаев И.А., Корелов О.Н.	
Процесс формирования установившегося сверхзвукового потока солнечного ветра	289
Список авторов	293

О ПРОИСХОЖДЕНИИ ЗЕБРА-СТРУКТУРЫ В КИЛОМЕТРОВОМ ИЗЛУЧЕНИИ ЮПИТЕРА

Злотник Е.Я., Зайцев В.В., Шапошников В.Е.

Институт прикладной физики РАН, Нижний Новгород, Россия

e-mail: zlot@appl.sci-nnov.ru

ON THE ORIGIN OF ZEBRA PATTERN IN KILOMETRIV RADIATION FROM JUPITER

Zlotnik E.Ya., Shaposhnikov V.E., Zaitsev V.V.

Institute of Applied Physics RAS, Nizhny Novgorod, Russia

Origin of the fine structure as quasi-harmonic parallel drifting stripes of enhanced brightness (zebra pattern) in the dynamic spectrum of the kilometric Jupiter radiation is discussed. A possible interpretation of the observed structure basing on the effect of double plasma resonance (DPR) in the Jupiter magnetosphere is analyzed. It is shown that the observed features of zebra pattern cannot be attributed to the DPR effect at the electron cyclotron harmonics. The suggested scheme consists of excitation of ion cyclotron waves at the low hybrid frequency in the ion DPR regions and succeeding coalescence of such waves with a high frequency longitudinal wave at the high hybrid frequency. The source parameters necessary for matching the expected and observed properties of the Jupiter zebra pattern are discussed.

Динамические спектры километрового излучения Юпитера с тонкой структурой в виде квази-эквидистантных параллельно дрейфующих полос повышенного излучения, зарегистрированные миссией Кассини [1], обнаружили сильную аналогию с так называемой зебра-структурой (ЗС) в солнечном метровом и дециметровом радиоизлучении. Такая структура была обнаружена на динамических спектрах солнечного радиоизлучения более 40 лет назад и с тех пор интенсивно исследуется как наблюдателями, так и теоретиками (см., например, [2–6]). В последние годы ЗС была обнаружена также в километровом излучении Сатурна [7], в ОНЧ шипениях в земной магнитосфере [8], и в микроволновом радиоизлучении пульсара в Крабовидной туманности [9].

На рисунках 1–2 приведены примеры ЗС в километровом радиоизлучении Юпитера [1] и дециметровом излучении Солнца [4]. Легко видеть, что обе структуры обнаруживают одинаковые свойства, которые состоят в следующем:

- 1) динамические спектры представляют собой набор квази-эквидистантных полос повышенной яркости, параллельно дрейфующих во времени;
- 2) частотное расстояние между полосами много меньше частот самих полос;

- 3) частотное расстояние между полосами незначительно увеличивается с ростом частоты;
- 4) частотный дрейф имеет волнообразный характер, причем изменение частоты полос обнаруживает задержку во времени по направлению к низким частотам.

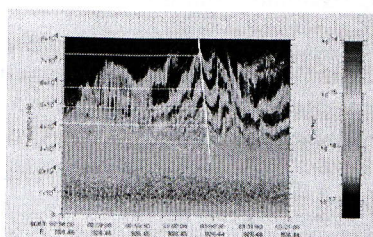


Рис. 1.

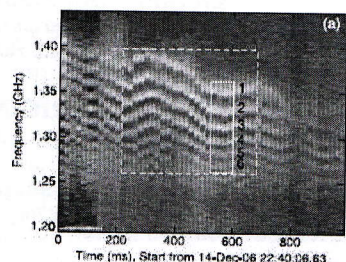


Рис. 2.

Глубокая аналогия между ЗС на Солнце и Юпитере предполагает одинаковые механизмы, ответственные за происхождение обеих структур. Теория происхождения солнечной ЗС основана на эффекте двойного плазменного резонанса, который реализуется в слабоанизотропной плазме при условии $f_{p_e} \gg f_{B_e}$, где f_{p_e} и f_{B_e} – плазменная частота и гирочастота электронов, соответственно. Повышенная генерация плазменных волн происходит в неоднородном источнике в тех областях, где локальная плазменная частота совпадает с гармониками электронной гирочастоты: $f_{p_e} = sf_{B_e}$. Эти плазменные волны сливаются с низкочастотными колебаниями или рассеиваются на ионах (без существенного изменения частоты), что приводит к появлению электромагнитного излучения со спектром в виде квазигармонических полос повышенного и пониженного излучения, способного покинуть плазменный источник. При этом необходимым условием наблюдаемого роста частотного разнесения зебра-полос с частотой является совпадение знаков градиентов магнитного поля и электронной концентрации (см. подробнее [3]). В противном случае Δf уменьшается с f , что противоречит наблюдениям.

В работе Кузнецова и Власова [1] предложена модель источника ЗС в магнитосфере Юпитера и механизм излучения, полностью аналогичные происхождению солнечной ЗС: в области вблизи экватора повышена концентрация плазмы, так что выполняется условие слабой анизотропии, поэтому могут наблюдаться уровни повышенного излучения с квазидискретных уровней ДПР. Однако в предложенной модели расстояние между полосами уменьшается с ростом частоты, что противоречит наблюдениям. Причина состоит в том, что в модели авторов [1] градиенты электронной концентрации и магнитного поля имеют разные направления. На первый

взгляд кажется, что упомянутого недостатка можно было бы избежать, если бы расположить неоднородный источник вдоль экватора. При этом знаки градиентов будут одинаковыми, однако в рамках известных моделей магнитного поля Юпитера источник оказывается слишком протяженным в пространстве (несколько радиусов Юпитера), что делает невозможным объяснение синхронного изменения частоты полос. Еще один недостаток модели [1] – слишком высокая электронная концентрация, требуемая для реализации эффекта ДПР. Судя по известным данным, плазма в магнитосфере Юпитера является сильноанизотропной, и условие $f_{p_e} = sf_{B_i}$ вряд ли может быть реализовано.

В данной работе предлагается альтернативная модель происхождения ЗС в километровом излучении Юпитера, основанная на эффекте ДПР на ионных циклотронных гармониках. Эффект состоит в повышенном излучении низкочастотных плазменных волн в областях, где частота нижнего гибридного резонанса $f_{LH} = f_{B_i} \sqrt{[1 + (f_{p_e}^2 / f_{B_i}^2)](m_i/m_e)} / \sqrt{[1 + (f_{p_e}^2 / f_{B_i}^2)]}$ совпадает с гармониками ионной гирочастоты (здесь и везде ниже индекс i относится к ионам). В слабоанизотропной по электронам плазме при $f_{p_e} \gg f_{B_i}$ частота $f_{LH} \approx \sqrt{f_{B_i} f_{B_i}}$ не зависит от ионной концентрации и условие ДПР $f_{LH} = sf_{B_i}$ не может быть выполнено. Напротив, в сильно анизотропной по

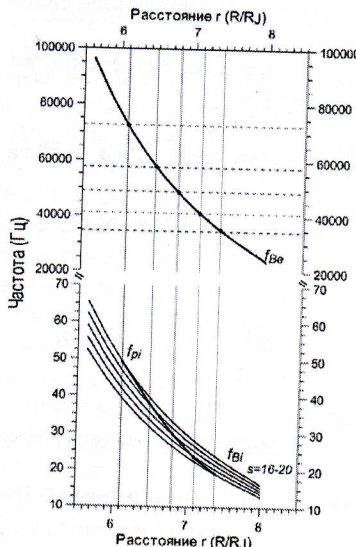


Рис. 3.

зональные линии) обозначают положение уровней ДПР (вертикальные линии). Точки пересечения вертикальных линий с системой ионных цик-

лонов плазме при $f_{p_i} \ll f_{B_i}$ ионы могут быть слабоанизотропными, поскольку последнее неравенство для ионов можно записать в виде: $f_{p_i} \ll f_{B_i} \sqrt{m_i/m_e}$, т.е. существует интервал параметров, при которых одновременно $f_{p_i} \ll f_{B_i}$ и $f_{p_i} > f_{B_i}$. При этом частота нижнего гибридного резонанса определяется концентрацией ионов $f_{LH} \approx f_{p_i}$, и при условии $f_{p_i} > f_{B_i}$ двойной резонанс на ионах $f_{p_i} = sf_{B_i}$ вполне возможен.

Предлагаемая схема генерации иллюстрируется на рис. 3, где изображены зависимости f_{B_i} и sf_{B_i} от расстояния r от центра Юпитера в магнитном поле, описываемом моделью VIP4 [10]. Точки пересечения f_{B_i} с наблюдаемыми частотами полос вдоль белой линии на рис. 1 (гори-

лотронных гармоник (построенных для однократно ионизованных ионов кислорода, которые представляют собой основную ионную компоненту магнитосферы Юпитера) обозначают частоты ДПР для ионных циклотронных гармоник (на рисунке изображены гармоники $s = 16 - 20$). Линия, соединяющая точки ДПР, определяет требуемое поведение ионной плазменной частоты. Эта частота меняется в интервале $f_{p_i} \approx (2.4 - 14.2)$ КГц, и соответствующая концентрация ионов составляет примерно $N \sim (0.2 - 7) \cdot 10^{-2}$ см⁻³.

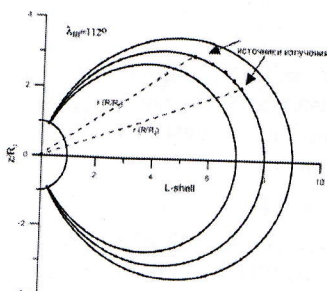


Рис. 4.

тосфере планеты. В то же время она позволяет объяснить следующие свойства ЗС:

- частотный спектр с полосами повышенной яркости, разделенными интервалами, значительно меньшими частоты излучения;
- увеличение частотного разнесения полос с частотой;
- квази-параллельный и волнообразный характер частотного дрейфа зебра-полос.

Работа выполнена при поддержке грантов РФФИ 13-02-00157-а и 12-02-90424-Укр.а.

Литература

1. Kuznetsov, A.A., Vlasov, V.G. Planetary and Space Science 2013, V. 75, p. 167-172.
2. Chernov, G.P.: 2006, *Space Sci. Rev.* **127**, 195.
3. Zlotnik, E.Ya.: 2009, *Cent. Eur. Astrophys. Bull.* **33**, 281.
4. Chen, B., Bastian, T.S., Gary, D.E., Jing, J.: 2011, *Astrophys. J.* **736**, 64.
5. Aurass H., Klein K.-L., Zlotnik E.Ya., and Zaitsev V.V., 2003, *Astron. Astrophys.* 410, 1001.
6. Zlotnik E.Y., Zaitsev V.V., Aurass H., Mann G., Hofman A., 2003, *Astron. Astrophys.* 410, 1011.
7. Tao et al., 2010 *JGR* V.115, A12204.
8. Titova E.E. et al., 2007, *GRL* V.34, L02112.
9. Hankins T.H., Eilek J.A., 2007, *ApJ* V.670, 693.
10. Connerney et al. *J. Geophys. Res.* **103**, 11929, 1998.